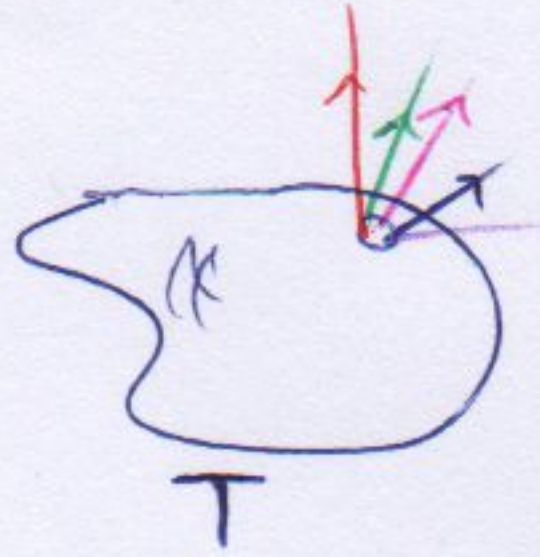
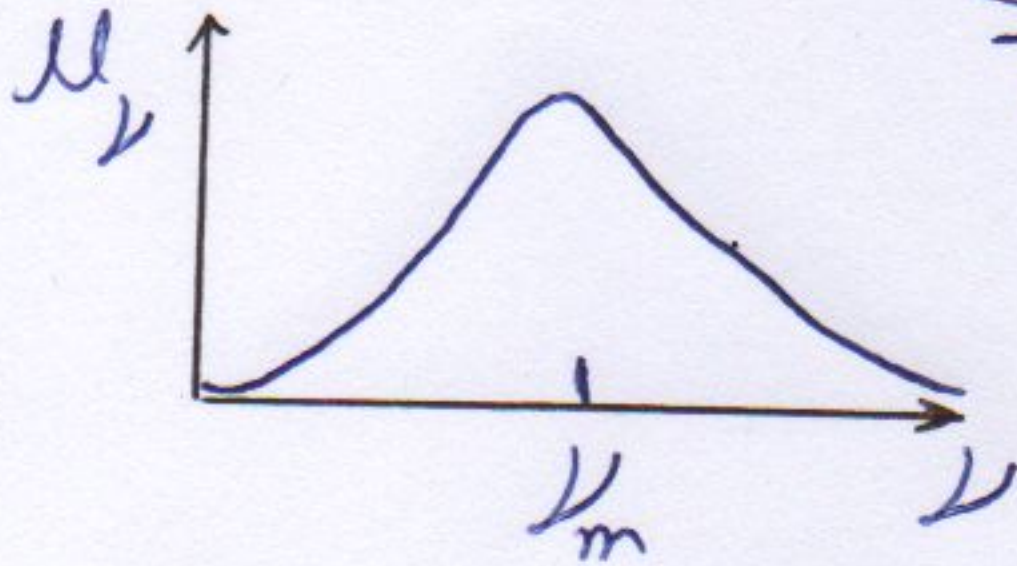


# Propriedades Ondulatórias da matéria

Tipler cap. V

## Revisão:

Planck, 1900:

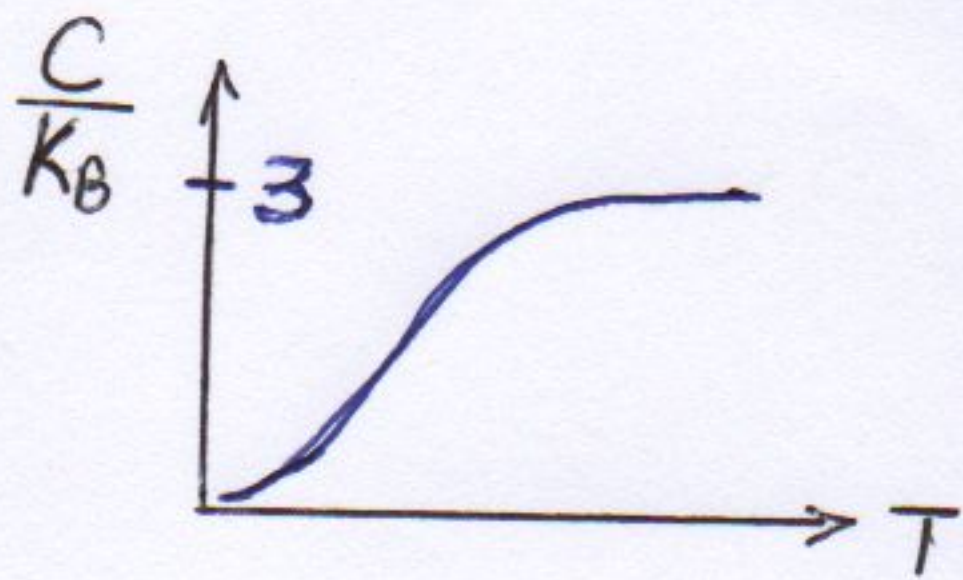


osciladores

$$\underline{E = h\nu}$$

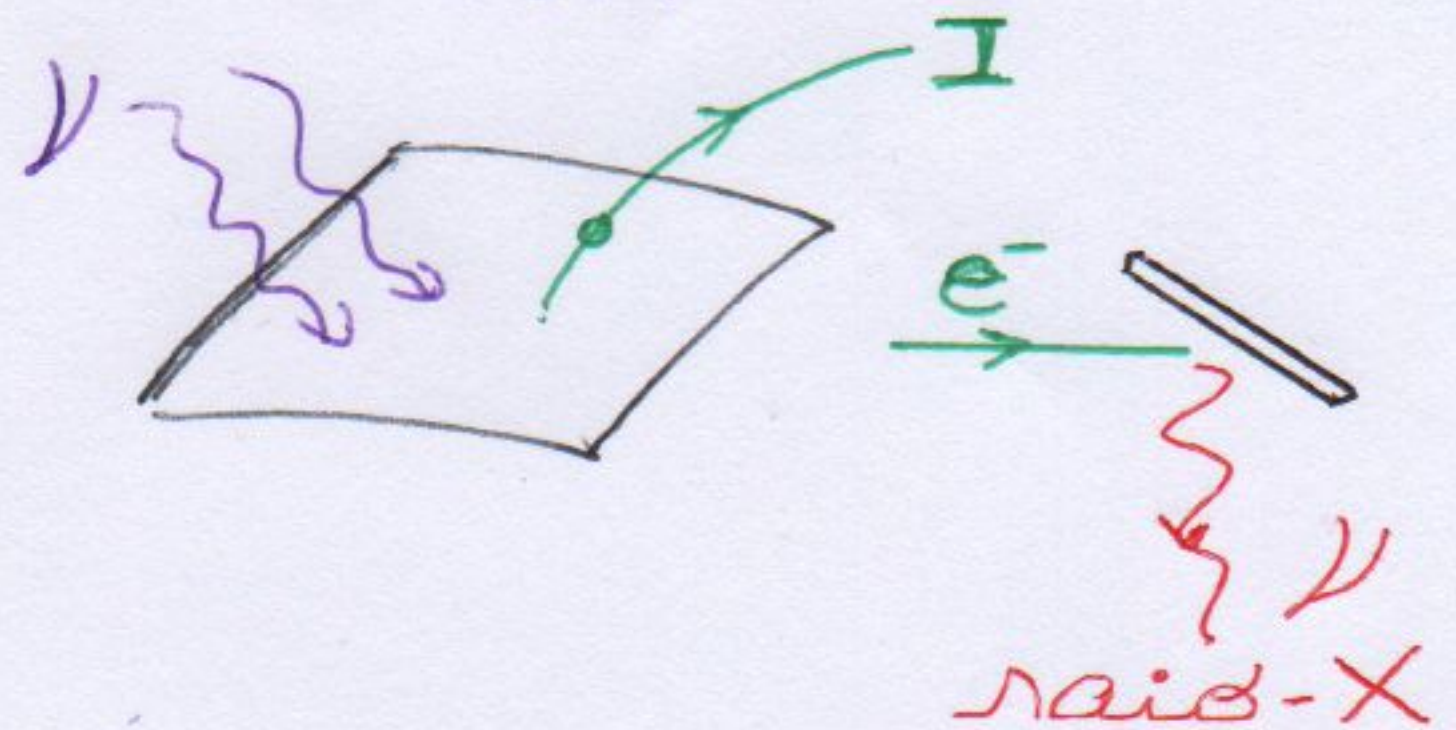
Einstein, 1905:

a radiação na cavidade  
t<sub>b</sub> é quantizada:



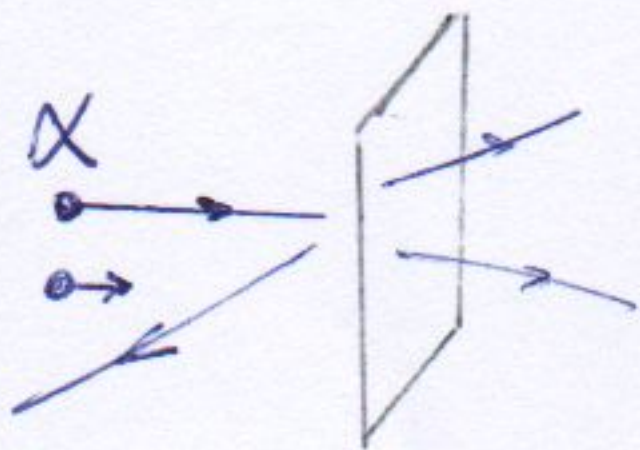
$$\underline{E = h\nu}$$

fóton



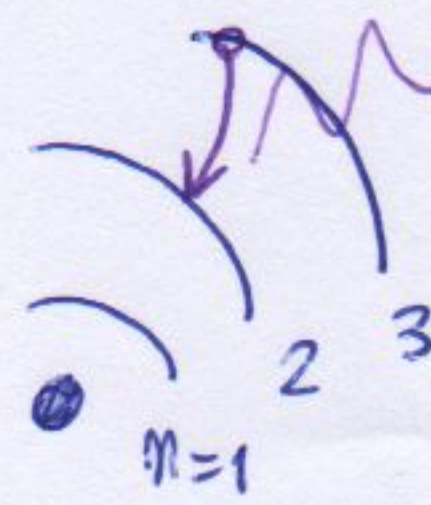
$$\underline{C \rightarrow 0 \text{ p/ } T \rightarrow 0}$$

Rutherford, 1911:



$$h\nu = \Delta E$$

Bohr, 1913:



$$L = m\hbar$$

$$\rightarrow E_n \sim -1/n^2$$

Compton, 1924



$$\underline{\lambda' = \lambda + \lambda_c(1 - \cos\theta)}$$

Usou que

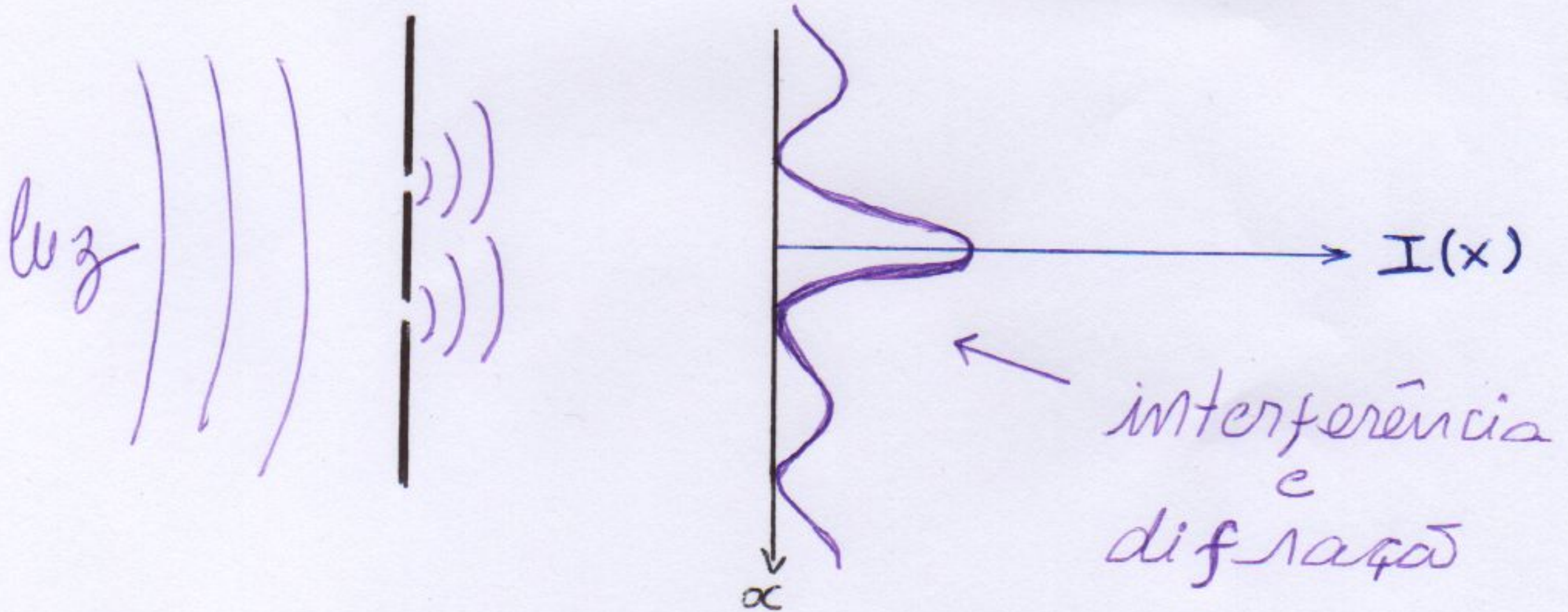
$$E = h\nu = \frac{hc}{\lambda}$$

$$E = \frac{pc^2}{v=c} = pc$$

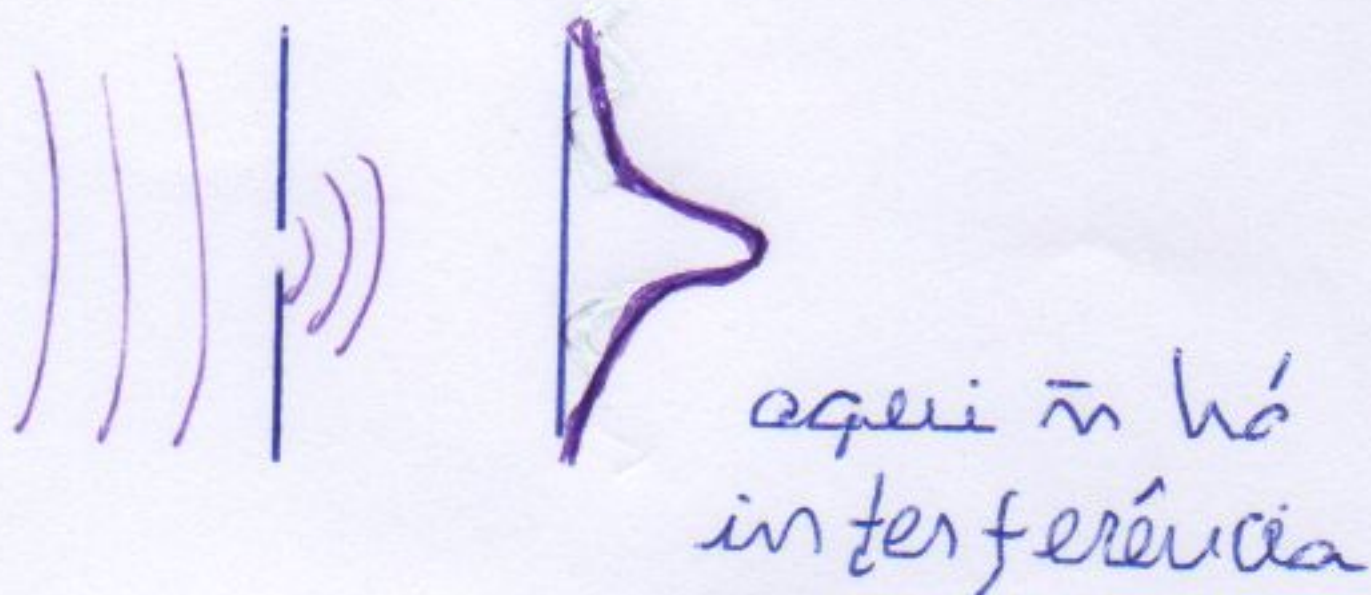
$$\Rightarrow \underline{p = \frac{h}{\lambda}}$$

ou seja,  
o fóton carrega  
momento e energia,  
logo,  
é uma partícula

Mas no experimento de Young, sec. 19,  
a luz definitivamente era onda!



"Qualquer tentativa de se medir por qual fenda o fóton passou destrói o padrão de interferência."



Então, o fóton tem caráter dual

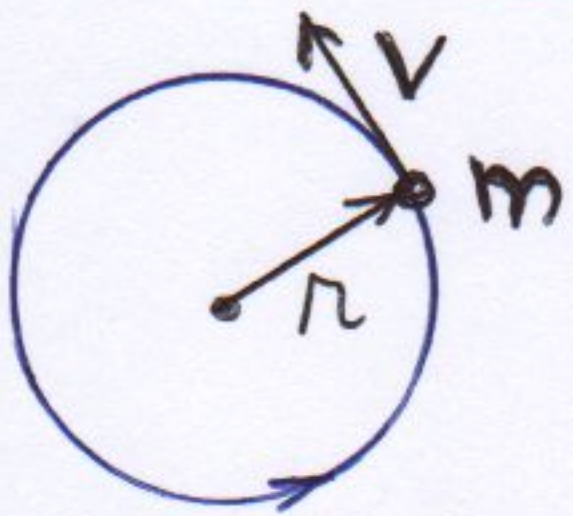
Louis Victor de Broglie - 1924

"a dualidade onda-partícula é uma manifestação universal"

isto é, vale n<sup>o</sup> para partícula de massa m:

hipótese  $p = \frac{h}{\lambda} \rightarrow \underline{\underline{\lambda = \frac{h}{p}}}$

Interpretando a quantização de Bohr:

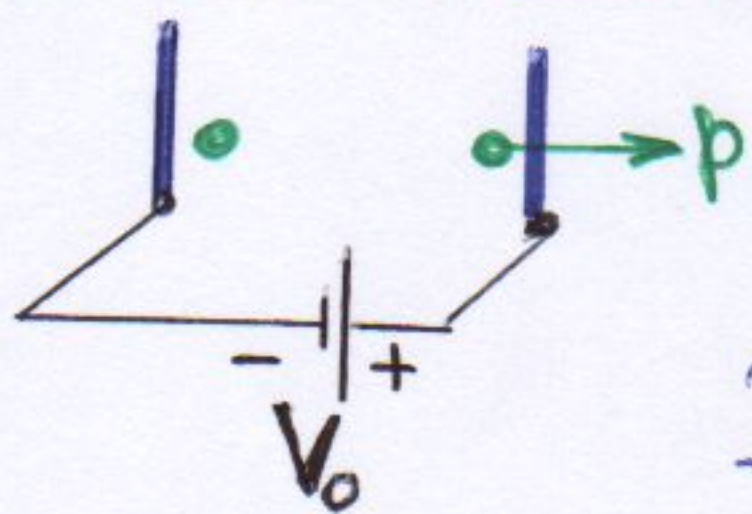


$$L = r \cdot p$$
$$m \cdot \frac{h}{2\pi} = r \cdot \frac{h}{\lambda} \rightarrow \underline{\underline{\lambda \cdot m = 2\pi r}}$$

"as órbitas especiais de Bohr são aquelas cujo perímetro encaixa um n<sup>o</sup> inteiro de  $\lambda$ "

Valores típicos de  $\lambda$

- grão de poeira:  $m \sim 10^{-15} \text{ kg}$ ,  $v \sim 1 \text{ mm/s} \rightarrow \lambda \sim 10^{-6} \text{ \AA}$
- elétron acelerado:



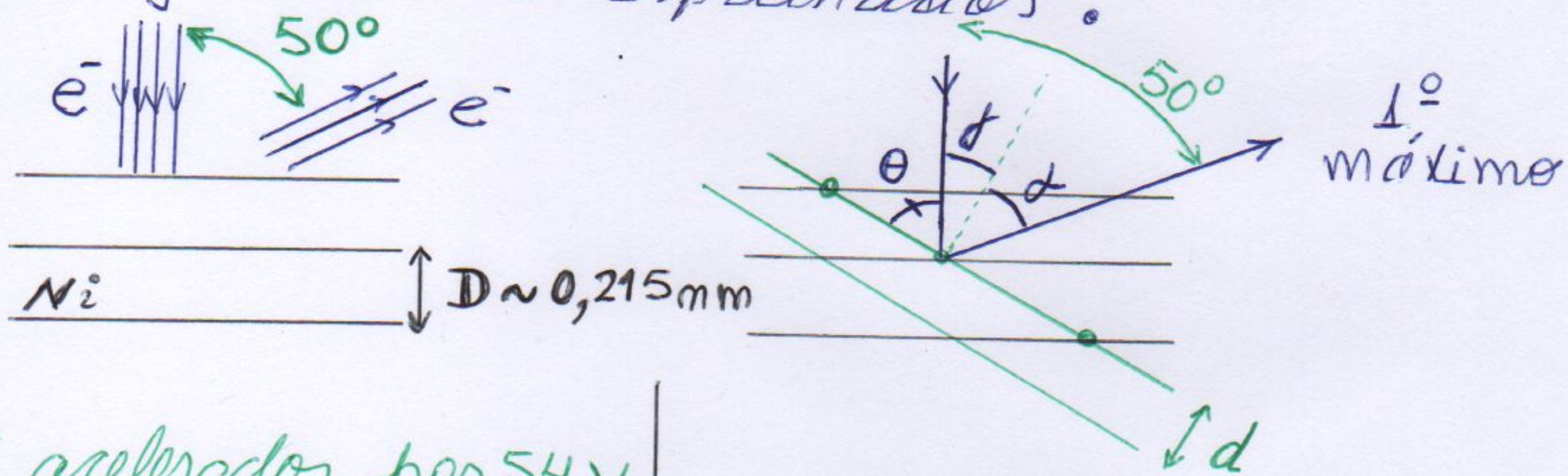
$$E = \frac{p^2}{2m} = eV_0 \rightarrow p = (2meV_0)^{1/2}$$
$$\lambda = \frac{h}{p} = \frac{hc}{(2mc^2eV_0)^{1/2}}$$

ou  $\lambda = \frac{1,226}{V_0^{1/2}}$  em nm ;  $p / V_0 = 10 \Rightarrow \lambda \sim 0,4 \text{ nm}$   
 $\Downarrow$   
espaçamento cristalino

# Davissom e Germer, 1927

Estudam (desde 1921 Kunsman) espalhamento de elétrons em superfície de Ni.

Descobrem (mas não era isso que estavam procurando) máximos e mínimos na contagem dos  $e^-$  espalhados:



$e^-$  acelerados por 54V

$$\lambda = \frac{1,226}{\sqrt{54}} \approx \underline{\underline{0,167 \text{ nm}}}$$

interpretando tipo onda  
- Bragg -

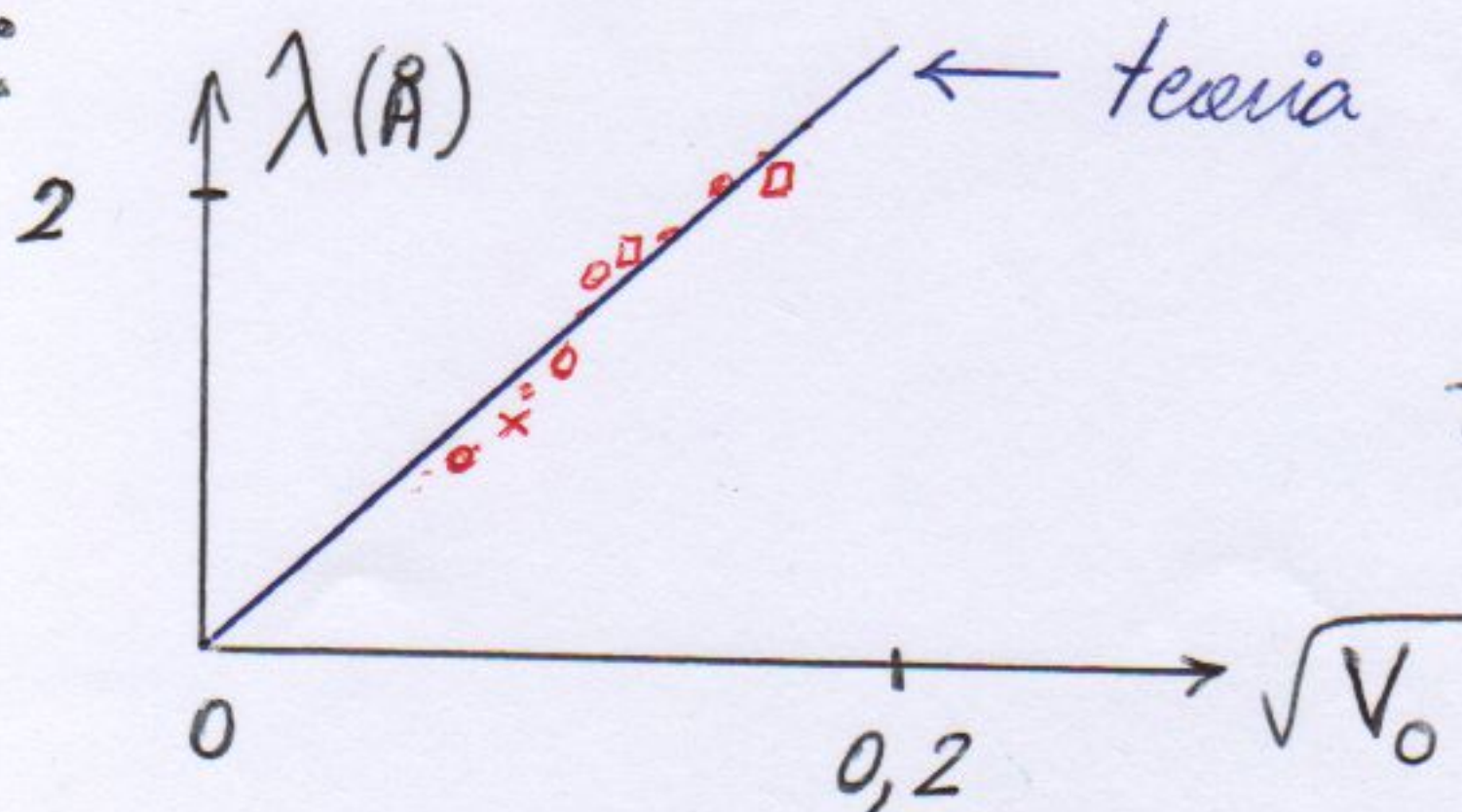
$$m\lambda = 2d \sin \theta, \quad m=1$$

$$d = D \sin \alpha, \quad \alpha = \frac{\pi}{2} - \theta$$

$$\phi = 2\alpha$$

$$\lambda = D \sin \phi \approx \underline{\underline{0,165}}$$

Outro teste:



Tipler, Fig. 5.5

1927, G. P. Thomson (filho de J. J. Thomson)

usou  $e^-$  relativísticos (40 KeV) para  
medir difração - Nobel (com Davison) em 1937

1930, Stern e Estermann espalham átomos  
e moléculas em cristais (LiF).

1949, Fabrikant passa um  $e^-$  de cada vez  
num difratômetro e obtém,  
após  $N e^-$ ,  
padrão de interferência.

## A onda de de Broglie

- Annales de Physique, 1924
- Comptes Rendus, Cop. 14

Parecia evidente, experimentalmente, que havia uma onda associada a cada partícula material:

1. que onda é essa?
2. qual sua equação?
3. e que ela faz nesse?

Elaborando: p/ partícula livre

No referencial de repouso da partícula,

$$E_0 = mc^2 \Rightarrow \nu_0 = \frac{E_0}{h} = \frac{mc^2}{h} \left( = \frac{c}{\lambda_c} \right)$$

A esta frequência estaria relacionada um processo periódico descrito por uma oscilação:

$$\psi_0 = e^{-i\omega_0 t_0}, \quad \omega_0 = 2\pi\nu_0,$$

onde  $t_0$  é o tempo próprio (no referencial da partícula).

P/ um observador em que a partícula tem velocidade  $v$ ,

$$t_0 = \gamma(t - vx/c^2),$$

portanto,

$$\gamma = \left( 1 - \frac{v^2}{c^2} \right)^{1/2}$$

↑  
Compton

$$\psi = e^{-i 2\pi \nu_0 (t - x \nu/c^2)}$$

Mas

$$\nu = \frac{E}{h} = \frac{\gamma E_0}{h} = \gamma \nu_0$$

$$E = \frac{m c^2}{\sqrt{1 - \frac{v^2}{c^2}}} = \gamma m c^2 = \gamma E_0$$

Então,

$$\psi = e^{-i 2\pi \nu (t - x \nu/c^2)} \equiv e^{i(kx - \omega t)}$$

sendo

$$k \equiv 2\pi \frac{\nu}{c^2} \quad e \quad \omega = 2\pi \nu$$

Isso implica que

$$\lambda = \frac{2\pi}{k} = \frac{c^2}{\nu \cdot \nu} = \frac{\gamma m c^2}{\gamma m \nu \nu} = \frac{E}{p \cdot \nu} = \frac{h}{p}$$

$$\text{ou } p = \frac{h}{\lambda} = \frac{h}{2\pi/k} = \hbar k$$

$$\psi = e^{i(p x - E t)/\hbar}$$

onda plana!

Problemas:

1 - onda plana se estende de  $-\infty$  a  $+\infty$ ,  
em quanto uma partícula é localizada!

2 - velocidade de fase:  $E = p^2 c^2 / \nu$

$$v_F = \frac{\omega}{k} = \frac{\hbar \omega}{\hbar k} = \frac{E}{p} = \frac{c^2}{v} > c$$

$$v = \lambda \cdot \nu = \frac{2\pi}{k} \cdot \nu = \omega/k$$

A ideia, é para representar um corpo localizado, usamos um pacote de ondas:

$$\psi = \sum_j a_j e^{i(k_j x - \omega_j t)} \Rightarrow \int a(k) e^{i(kx - \omega t)} dk$$

sendo que cada componente obedece

$$E = (p^2 c^2 + m^2 c^4)^{1/2} \Rightarrow \hbar \omega = (\hbar^2 k^2 c^2 + m^2 c^4)^{1/2}$$

Assim,

$$V_g = \frac{d\omega}{dk} = \frac{dE}{dp} = \dots = \frac{pc^2}{E} = v \quad \checkmark$$

Se for  $\bar{m}$  relativístico:

$$E = \frac{p^2}{2m} \Rightarrow \hbar \omega = \frac{(\hbar k)^2}{2m}$$

$$\therefore V_F = \frac{\omega}{k} = \frac{\hbar k^2 / 2m}{k} = \frac{\hbar k}{2m} = \frac{v}{2} \quad ?$$

$$V_g = \frac{d\omega}{dk} = \frac{d}{dk} \left( \frac{\hbar k^2}{2m} \right) = \frac{\hbar k}{m} = v \quad \checkmark$$

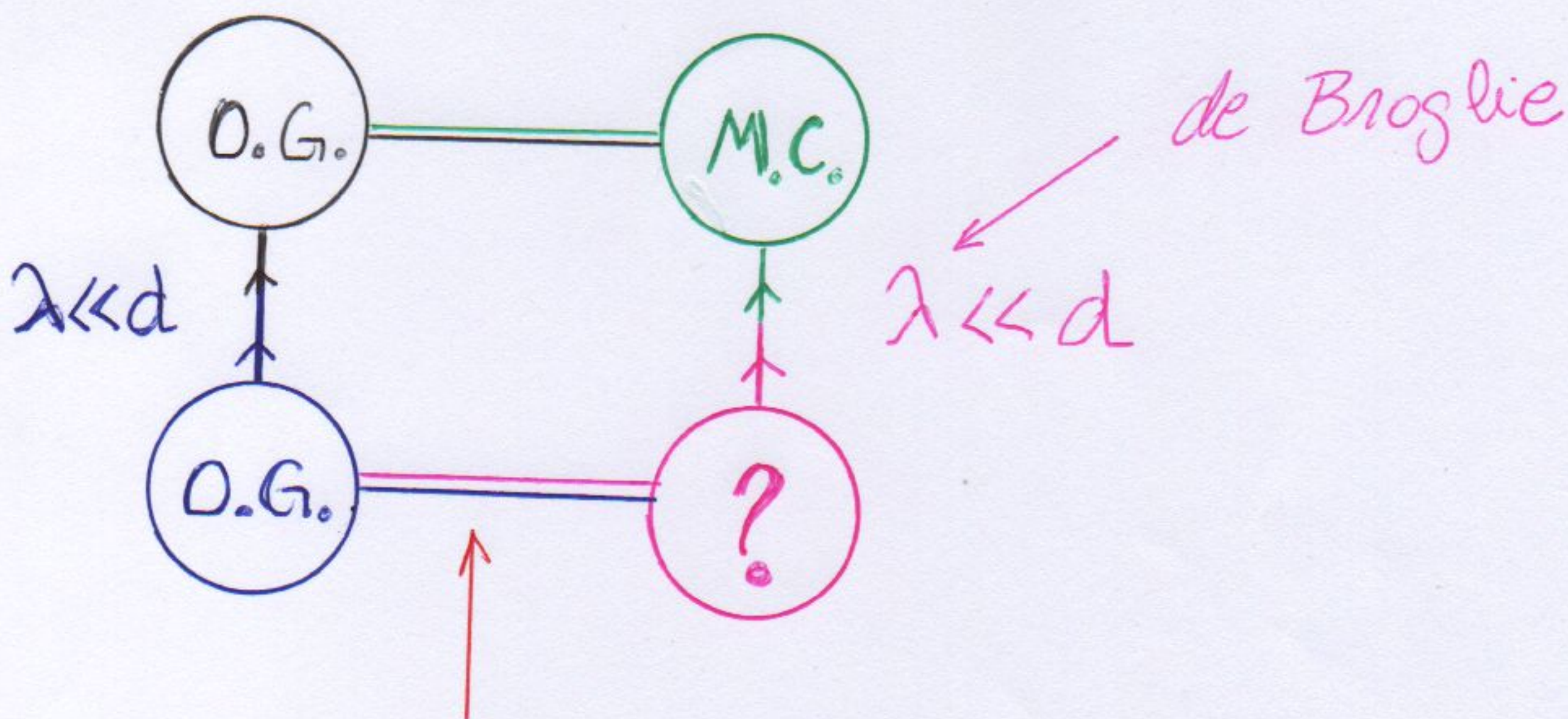
# Schrödinger - 1925

1835, Hamilton estabelece analogia entre Ótica Geométrica e Mec. Clássica

"a trajetória de uma partícula num potencial  $V(\vec{r})$  é idêntica à trajetória de um raio de luz num meio com índice de refração  $n(\vec{r}) \sim \sqrt{E - V(\vec{r})}$ ."

"a ótica geométrica é um limite da ótica ondulatória, em que

luz  $\lambda \ll d$  tamanho típico de obstáculos



a correspondência deve se basear na evidência de existir uma onda associada à matéria!

# A Equação de onda

## Jeito fácil

Queremos uma Eq. diferencial p/  $\psi$ ,  
tipo Eq. de onda com  $\partial_t$  e  $\partial_x$

Pl partícula livre  $\psi = e^{i(kx - \omega t)}$

e no caso NÃO relativístico devemos  
ter

$$E = \hbar\omega = \frac{p^2}{2m} = \frac{\hbar^2 k^2}{2m}$$

Vem de  $i\hbar \frac{\partial \psi}{\partial t}$       Vem de  $-\frac{\hbar^2}{2m} \frac{\partial^2 \psi}{\partial x^2}$

Proposta:  $-\frac{\hbar^2}{2m} \frac{\partial^2 \psi}{\partial x^2} + V_0 \psi = i\hbar \frac{\partial \psi}{\partial t}$

de fato, subst.  $\psi = e^{i(kx - \omega t)}$ ,

$$\frac{p^2}{2m} = \frac{\hbar^2 k^2}{2m} + V_0 = \hbar\omega = E \quad \checkmark$$

Generalizando

$$-\frac{\hbar^2}{2m} \nabla^2 \psi + V(\vec{r}, t) \psi = i\hbar \frac{\partial \psi}{\partial t}$$

Schrödinger, 1925

NÃO foi do jeito acima que ele fez!

# M. Clássica como limite da Mec. Quântica

Para uma partícula livre,  $\psi = e^{iS/\hbar}$ , onde

$$S = px - Et, \text{ Veja que } p = \frac{\partial S}{\partial x} \text{ e } E = -\frac{\partial S}{\partial t}$$

↑  
ação

Adotemos  $\psi = e^{iS/\hbar}$  em geral:

$$\psi = e^{iS/\hbar} \Rightarrow \frac{1}{2m} \left( \left( \frac{\partial S}{\partial x} \right)^2 - i\hbar \frac{\partial^2 S}{\partial x^2} \right) + V(x) = -\frac{\partial S}{\partial t} \quad (1)$$

Na teoria de Hamilton-Jacob,

$$H(p, x, t) = E \text{ e } S / p = \frac{\partial S}{\partial x} \text{ e } E = -\frac{\partial S}{\partial t}.$$

Então,  $H\left(\frac{\partial S}{\partial x}, x, t\right) = -\frac{\partial S}{\partial t}$ , ou

$$\frac{1}{2m} \left( \frac{\partial S}{\partial x} \right)^2 + V(x) = -\frac{\partial S}{\partial t} \quad (2)$$

Comparando (1) e (2) Mec. Clássica vale

Se  $\hbar \frac{\partial^2 S}{\partial x^2} \ll \left( \frac{\partial S}{\partial x} \right)^2 \Rightarrow \hbar \frac{dp}{dx} \ll p^2$

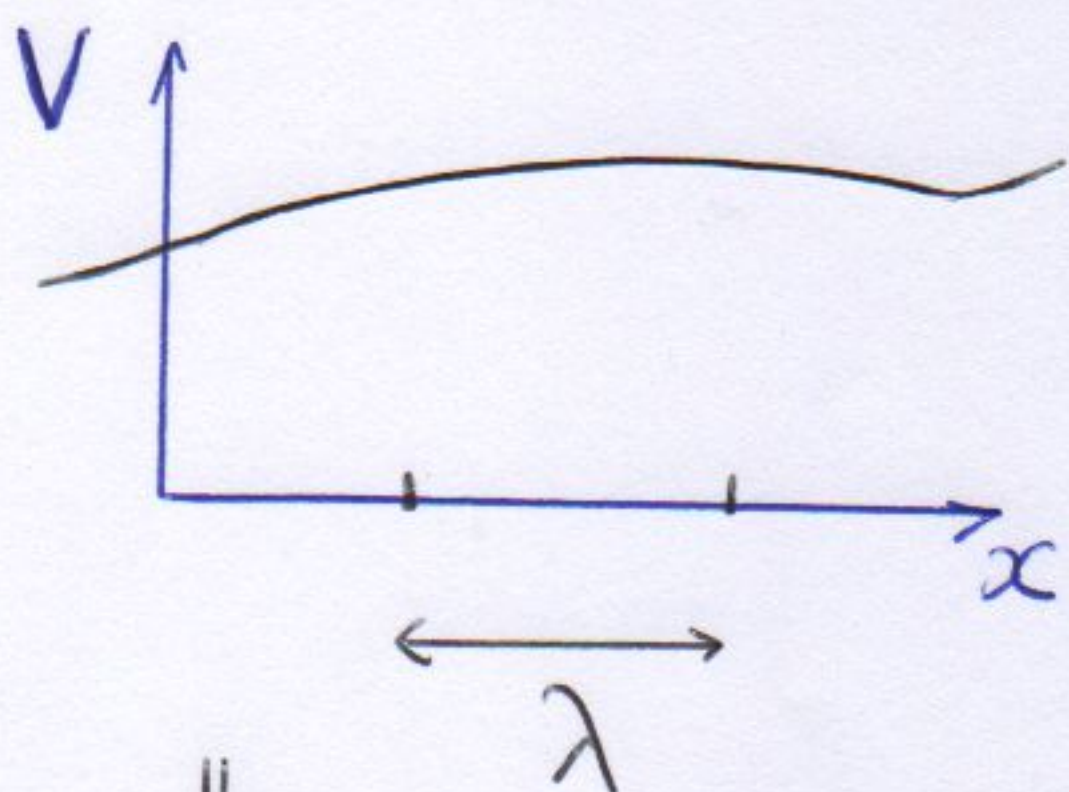
ou  $\frac{\Delta p}{p} \ll 2\pi \frac{\Delta x}{\lambda}$ ,  $\lambda = \frac{h}{p}$ .

É claro que M.Q. vai em M.C.

qdo  $\hbar \rightarrow 0$ , ou

# Quando Mec. Clássica Vale

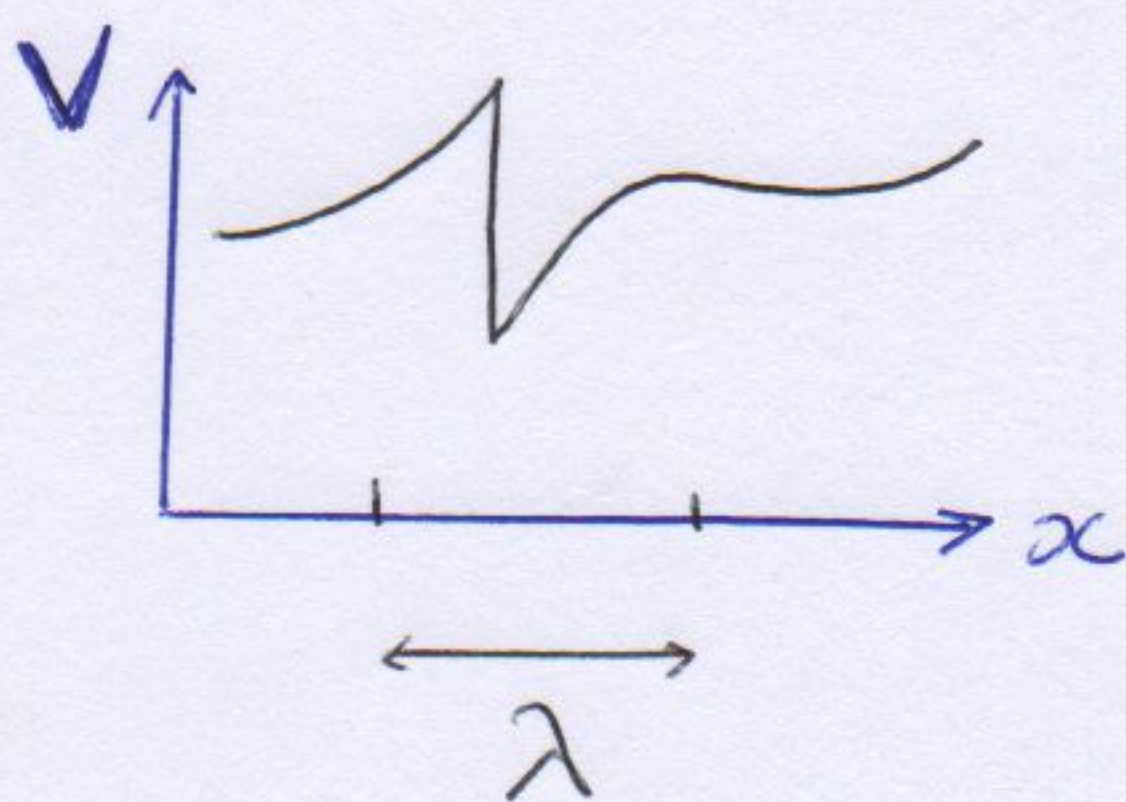
$$F = -\frac{dV}{dx}$$



$$\Delta p \ll p$$



M. Cl. Vale



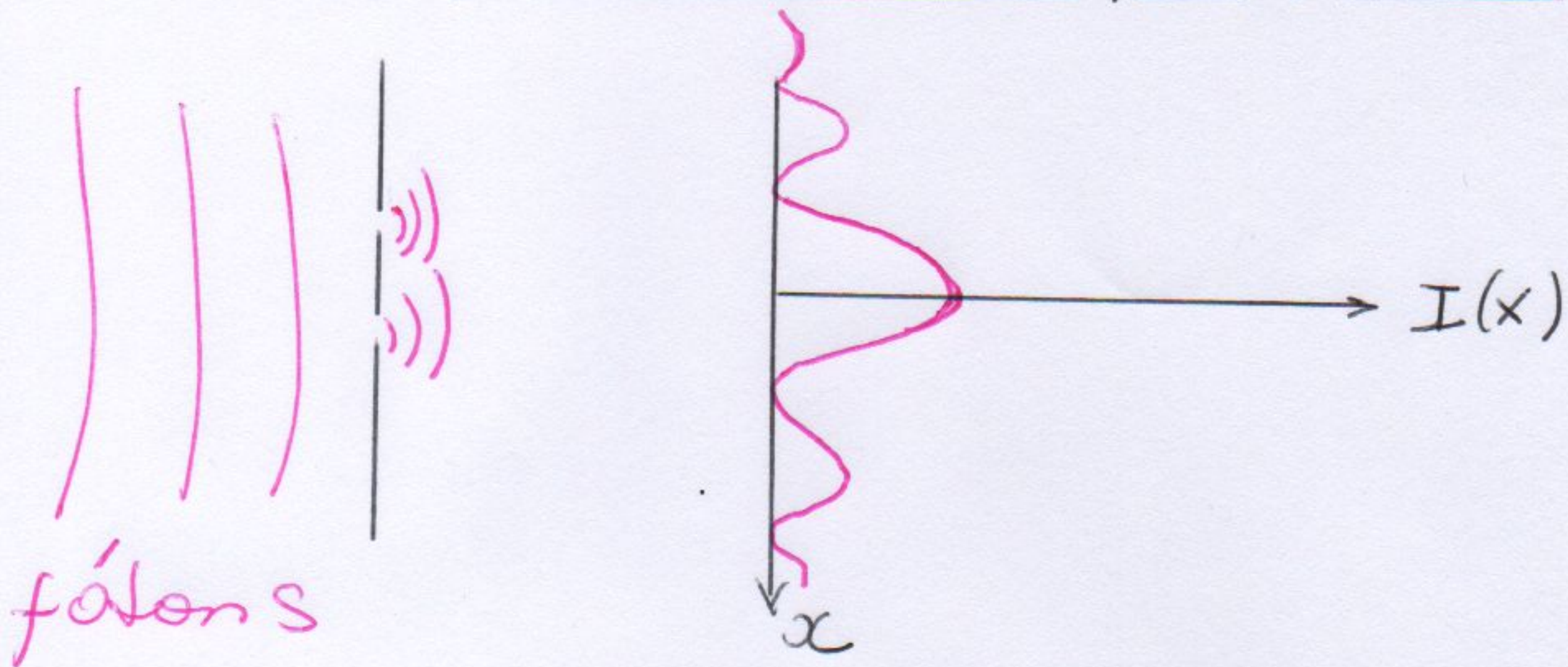
$$\Delta p \gtrsim p$$

M. Q. imprescindível

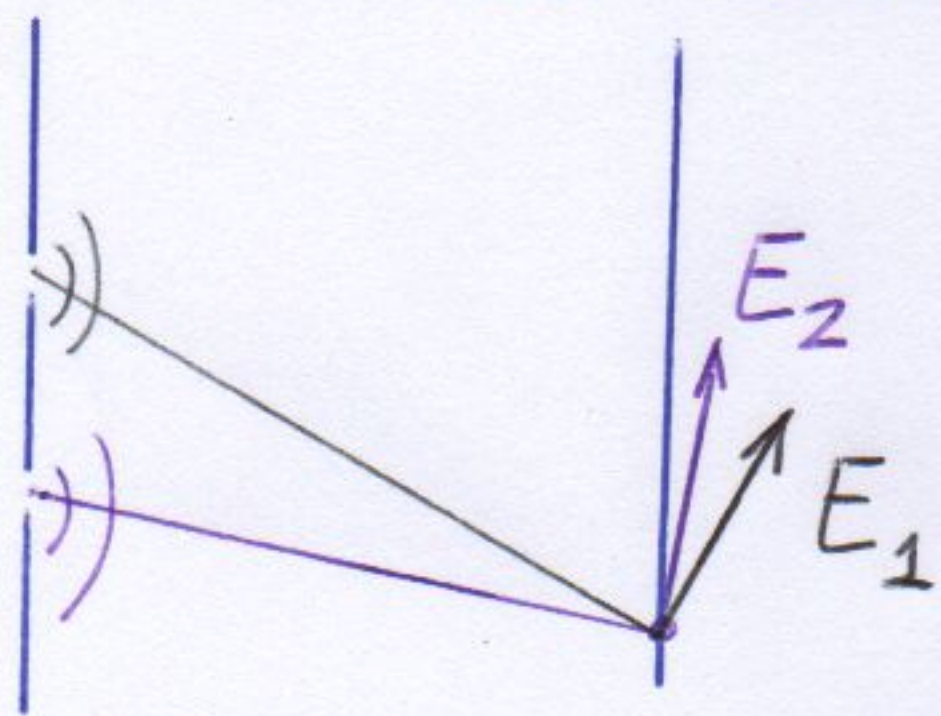
"M. Quântica é imprescindível se o potencial variar apreciavelmente dentro de uma região da ordem de  $\lambda$ ."

# Mas a final, que onda é essa?

## o experimento da dupla fenda



Pl fótons a intensidade  $I$  é o brilho, e é proporcional à amplitude ao quadrado do campo elétrico:



$$I \sim |E|^2 = |\vec{E}_1 + \vec{E}_2|^2 \\ = |E_1|^2 + |E_2|^2 + 2\vec{E}_1 \cdot \vec{E}_2$$

interferência vem daqui

$$I = I_1 + I_2 + \text{positivo ou negativo}$$

Max Born 1926:

maior brilho significa maior n° de fótons  $\rightarrow$  maior probabilidade de achar um fóton!

$$P(x) \sim I(x) \sim |\vec{E}|^2 = |\vec{E}_1 + \vec{E}_2|^2$$



↑  
ondulatório

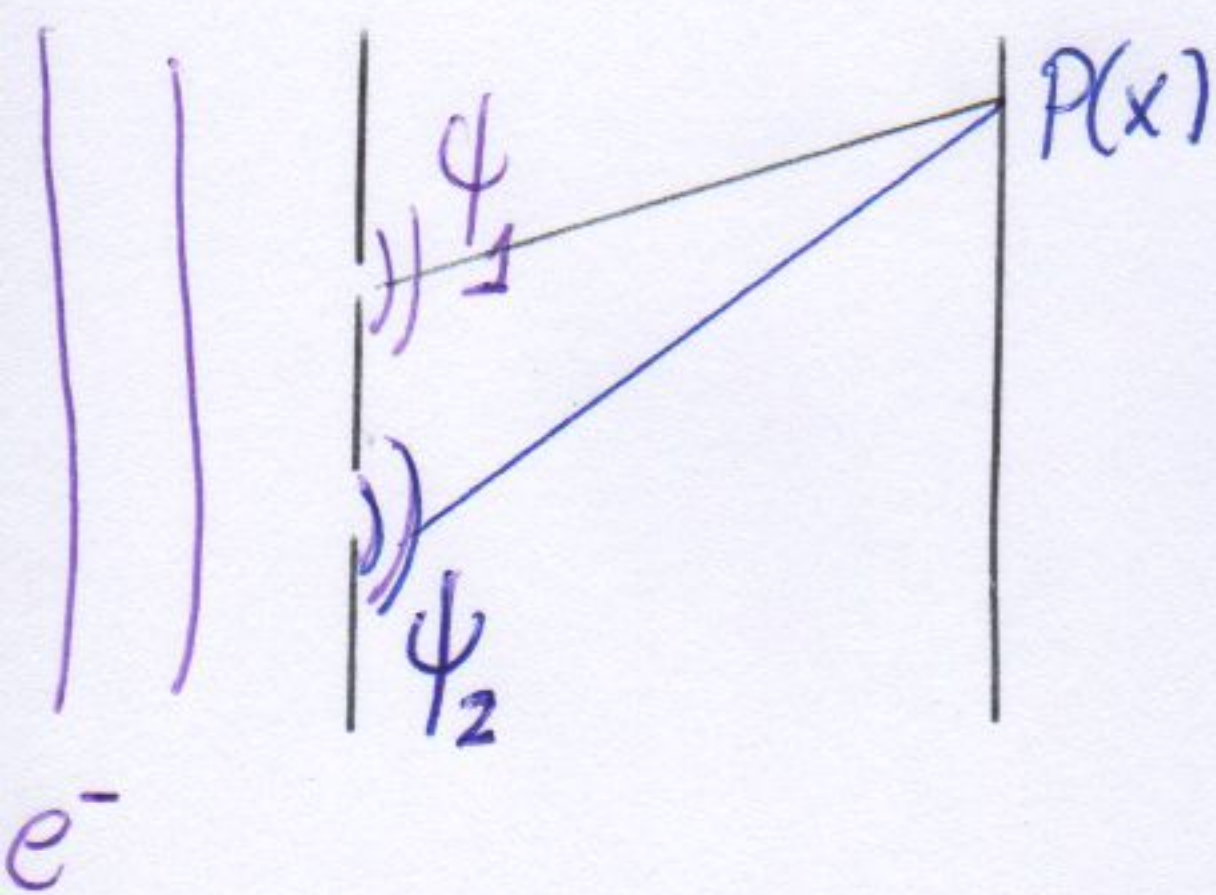
↑  
interferência

probob., em  
no de fótons

Extrapolando p/ e<sup>-</sup>:

como tb temos um padrão de interferência p/ elétrons, que tal procurar por uma grandeza ondulatória  $\Psi$  tal que

$$P(x) = |\Psi|^2 = |\Psi_1 + \Psi_2|^2 = |\Psi_1|^2 + |\Psi_2|^2 +$$



$$+ (\Psi_1^* \Psi_2 + \Psi_2^* \Psi_1)$$

↑  
este termo é  
responsável pela  
interferência!

como veremos  $|\Psi|^2$  é uma densidade de probabilidade:

$dP = |\Psi|^2 dV$  é a probob. de se achar

uma partícula no volume infinitesimal  $dV$ .

# Princípios de Superposição e Inerteza

## análise qualitativa

Eq. de Schrödinger p/ partícula livre em 1d

$$\frac{-\hbar^2}{2m} \frac{\partial^2 \psi}{\partial x^2} = i\hbar \frac{\partial \psi}{\partial t}, \quad \psi = e^{i(kx - \omega t)}$$

Uma Eq. é linear, logo, tb são soluções

$$A e^{i(kx - \omega t)}, \quad A_1 e^{i(k_1 x - \omega_1 t)} + A_2 e^{i(k_2 x - \omega_2 t)},$$

$$\text{com } \frac{\hbar^2 k_1^2}{2m} = \hbar \omega_1 \quad \text{e} \quad \frac{\hbar^2 k_2^2}{2m} = \hbar \omega_2.$$

Portanto, tb é solução o pacote

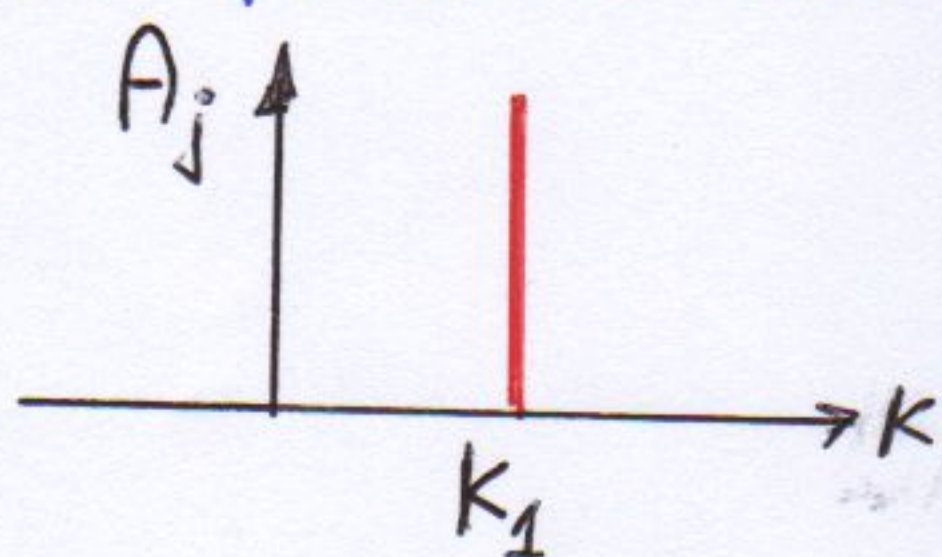
$$\Psi(x, t) = \sum_j A_j e^{i(k_j x - \omega_j t)}, \quad \text{q/ } \frac{\hbar^2 k_j^2}{2m} = \hbar \omega_j.$$

Um pacote, então, não tem  $k, \omega$  ou  $E$  definidos.

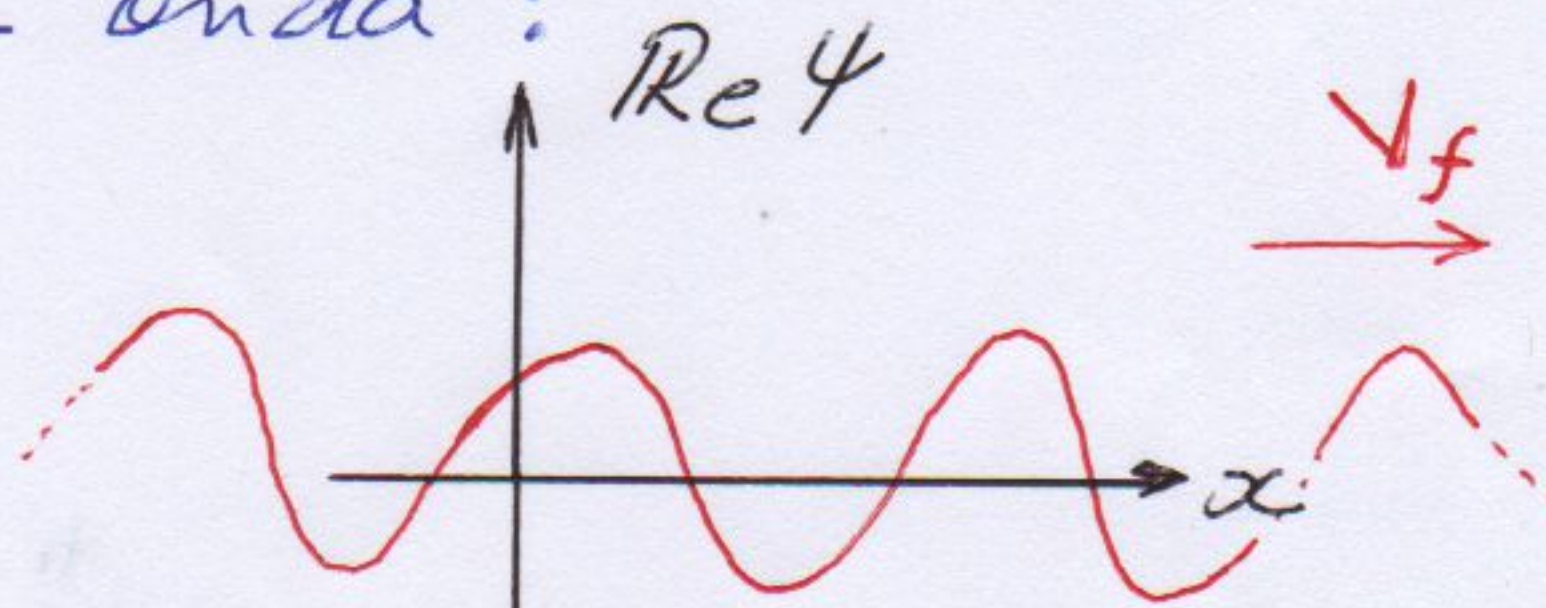
*Daí falamos em inerteza nesses valores!*

## Casos particulares

1 - "pacote" com 1 onda:



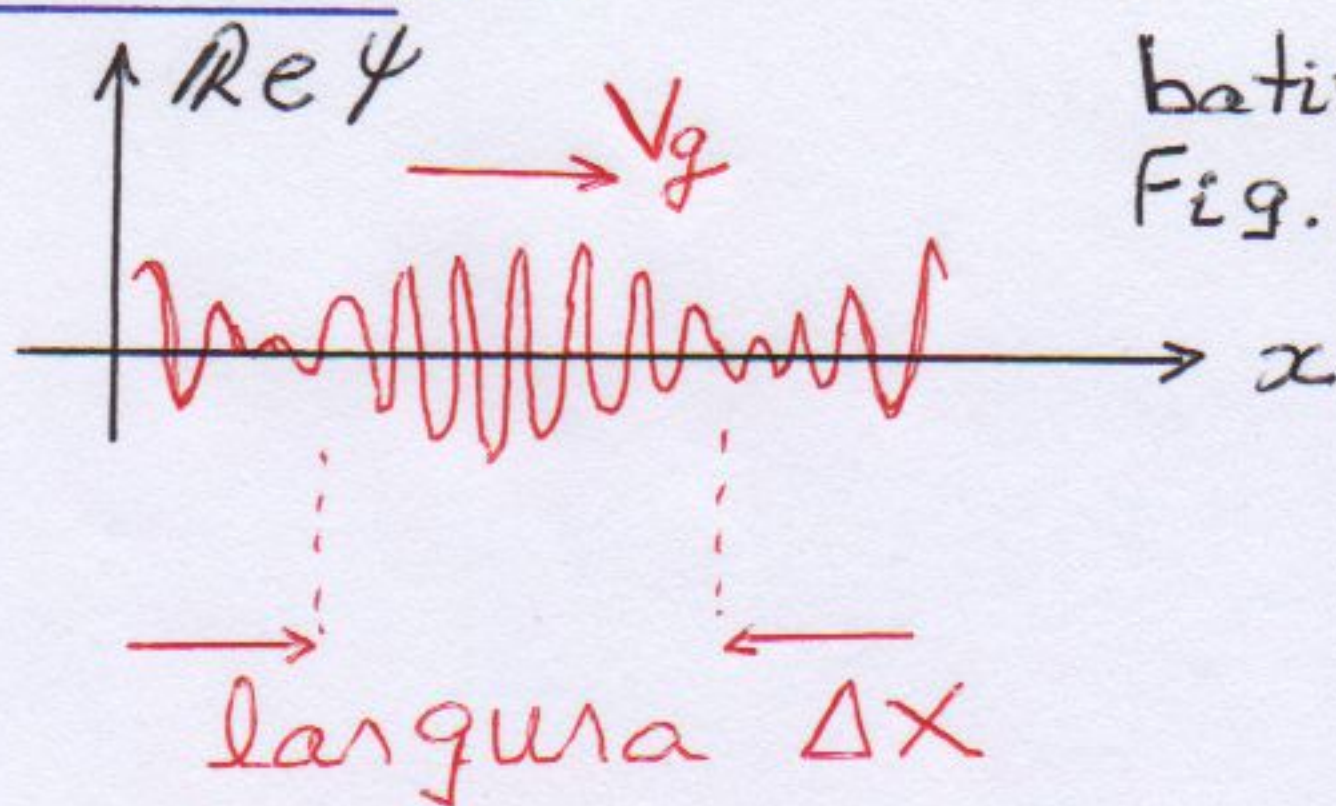
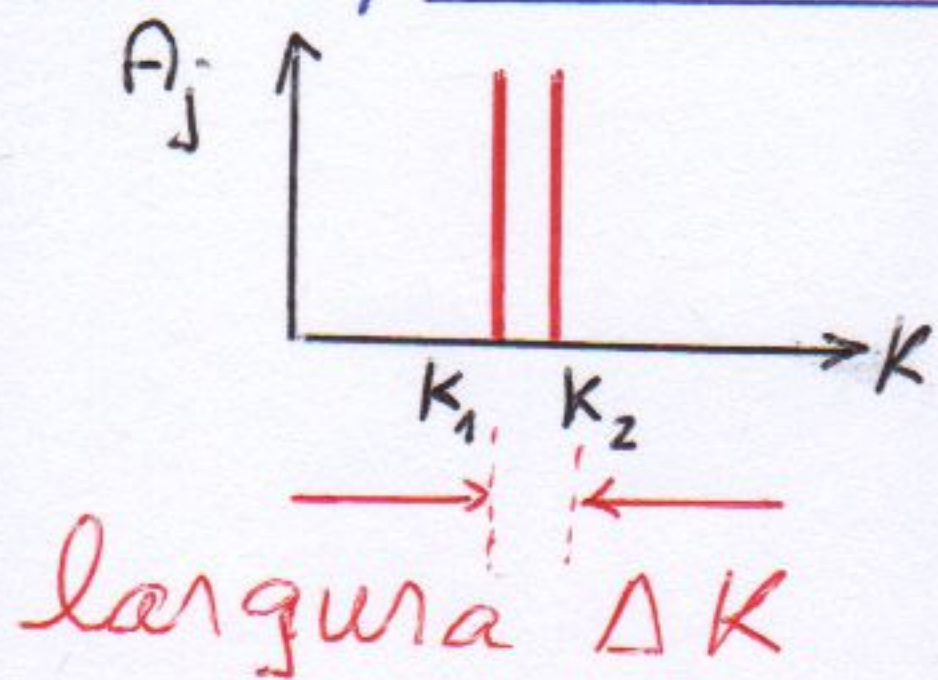
*largura zero*



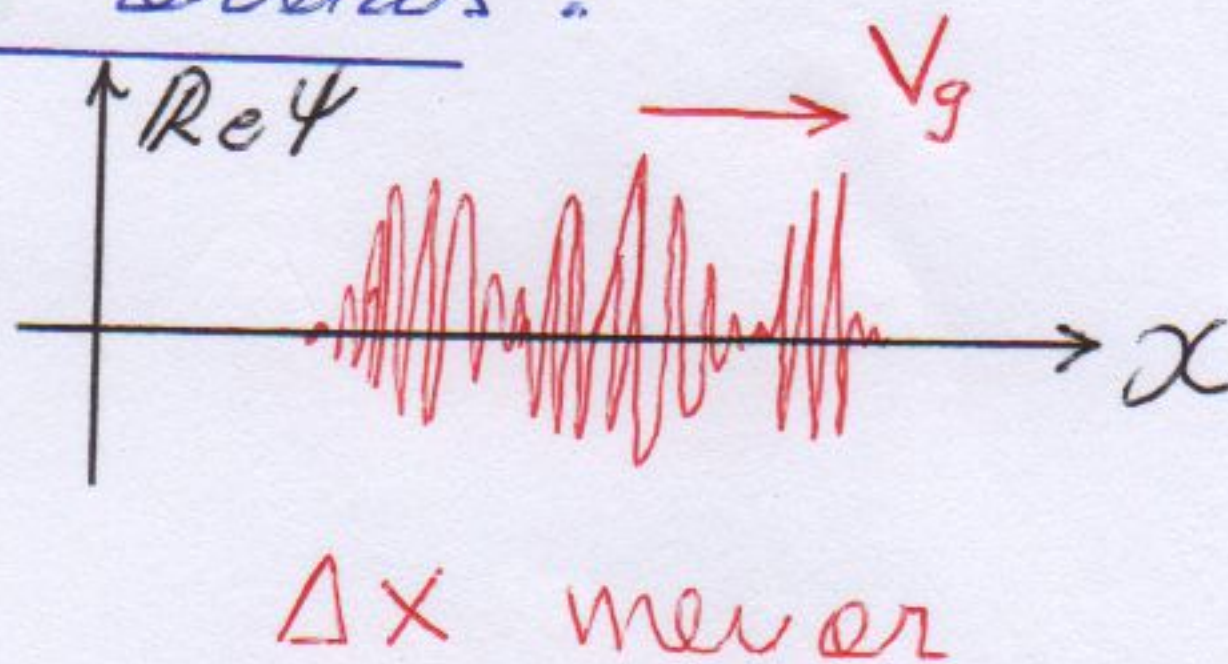
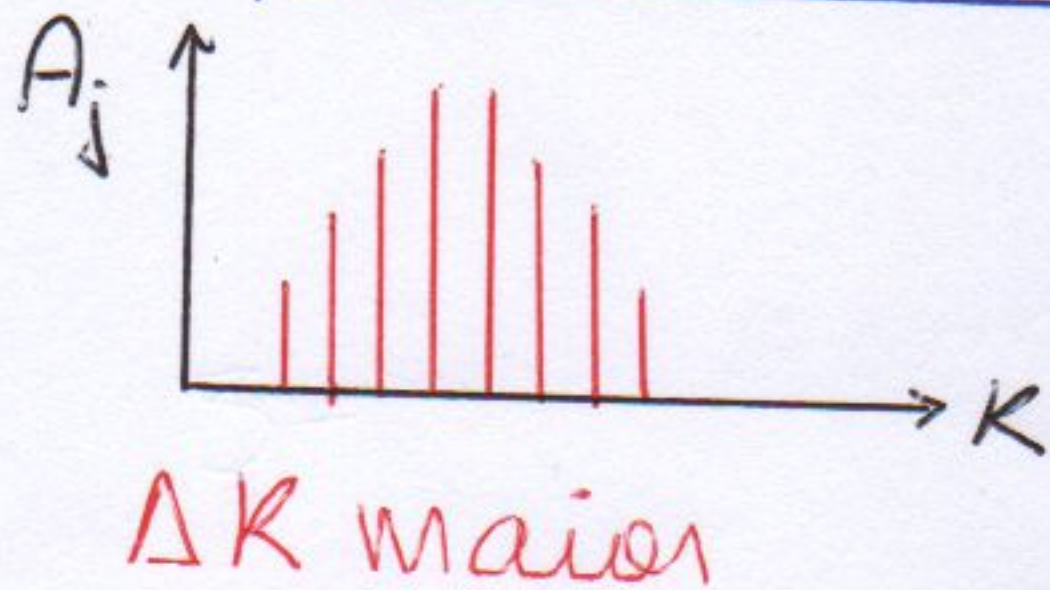
*largura infinita*

$$\text{Re } \psi = A_1 \cos(k_1 x - \omega_1 t)$$

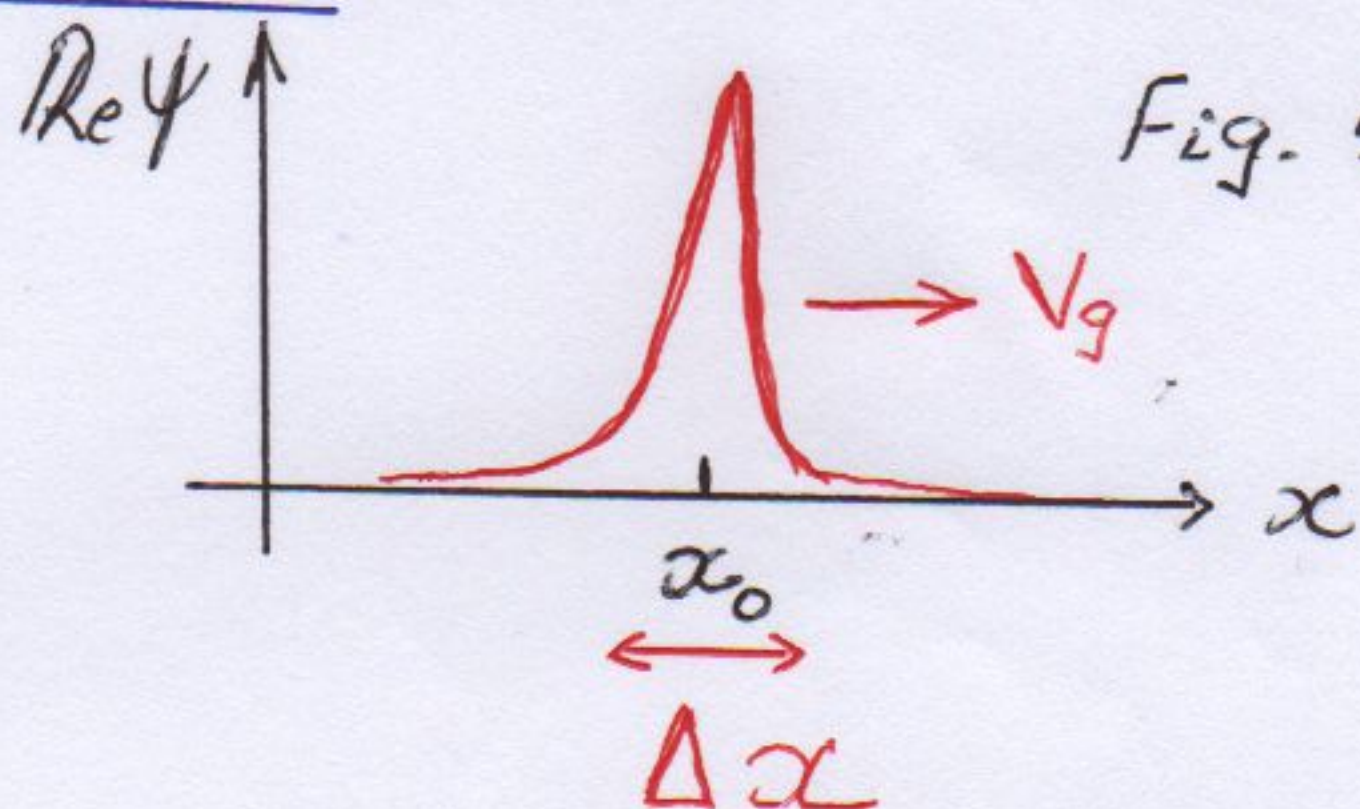
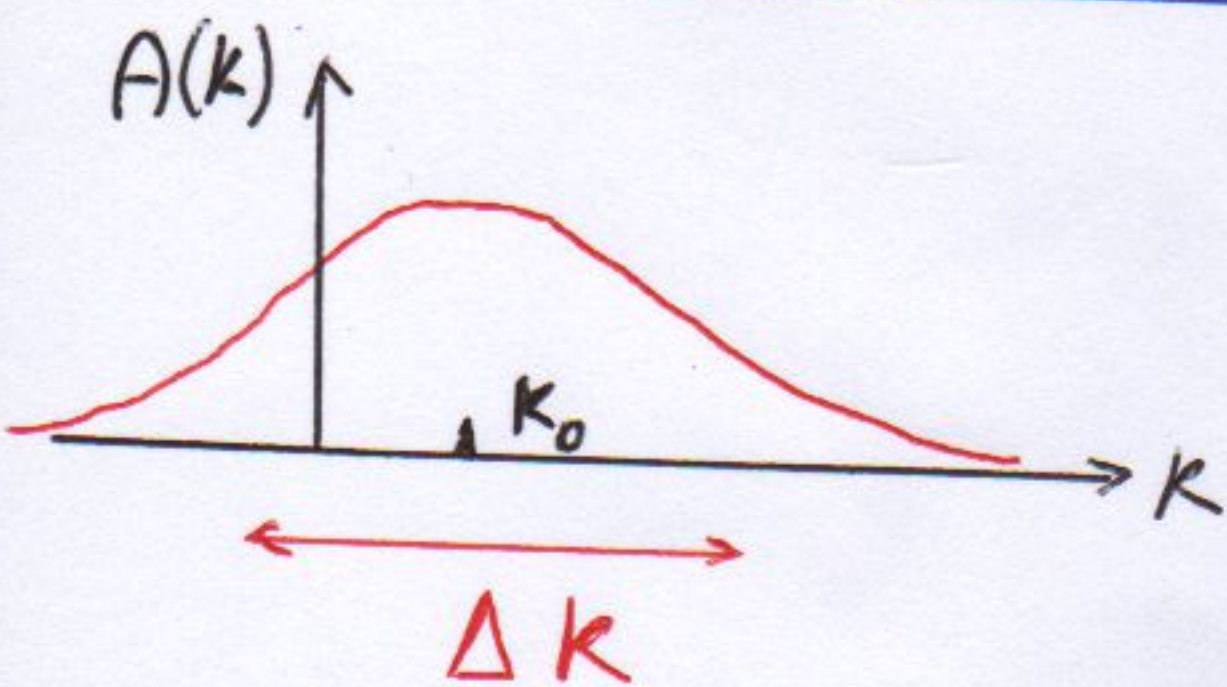
2 - pacote com duas ondas:



3 - pacote com N ondas:



4 - os k no contínuo



$$\Delta x \sim 1/\Delta k \quad \rightarrow \quad \Delta x \cdot \Delta k \sim 1$$

de  $p = \hbar k$

$$\rightarrow \Delta x \Delta p \sim \hbar$$

$$\underline{\underline{\Delta x \cdot \Delta p \geq \hbar/2}}$$

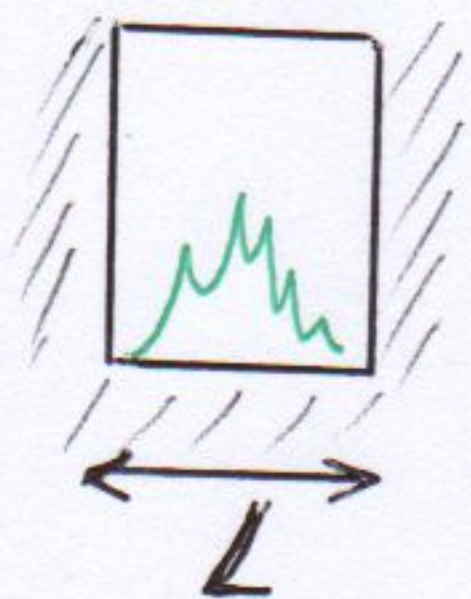
$$\Psi(x,t) = \int A(k) e^{i(kx - \omega t)} dk$$

$$A(k) = \int \Psi(x,0) e^{-ikx} dx$$

↑ condição inicial

## Consequências de $\Delta x \Delta p \sim \hbar$

- partícula confinada no espaço!



a partícula é representada pelo seu pacote de ondas

$$\Delta x \sim L \rightarrow \Delta p \sim \frac{\hbar}{L}$$

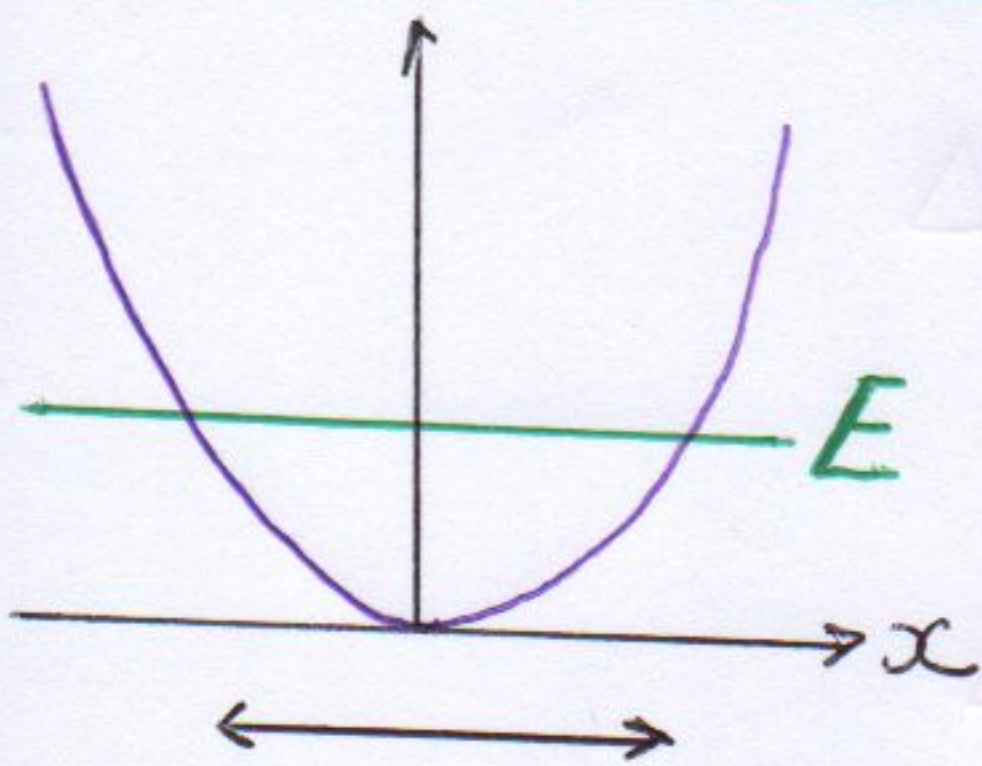
$$\Delta p = \sqrt{\langle p^2 \rangle - \underbrace{\langle p \rangle^2}_0} = \sqrt{\langle p^2 \rangle}$$

$$E_c = \bar{E}_c = \frac{\langle p^2 \rangle}{2m} = \frac{(\Delta p)^2}{2m} = \frac{\hbar^2}{2mL^2} \neq 0 //$$

a)  $m = 10^{-6} \text{ g}, L = 10^{-6} \text{ m} \rightarrow E_c \sim 10^{-29} \text{ eV}$

b)  $m \sim 9 \cdot 10^{-31} \text{ Kg} \rightarrow E_c \sim 4 \text{ eV}$

- energia mínima de um oscilador



$$E = \bar{E} = \frac{\langle p^2 \rangle}{2m} + \frac{1}{2} m \omega^2 \langle x^2 \rangle$$

$$\Delta p = \sqrt{\langle p^2 \rangle - \underbrace{\langle p \rangle^2}_0} = \sqrt{\langle p^2 \rangle}$$

$$\Delta x = \sqrt{\langle x^2 \rangle - \underbrace{\langle x \rangle^2}_0} = \sqrt{\langle x^2 \rangle}$$

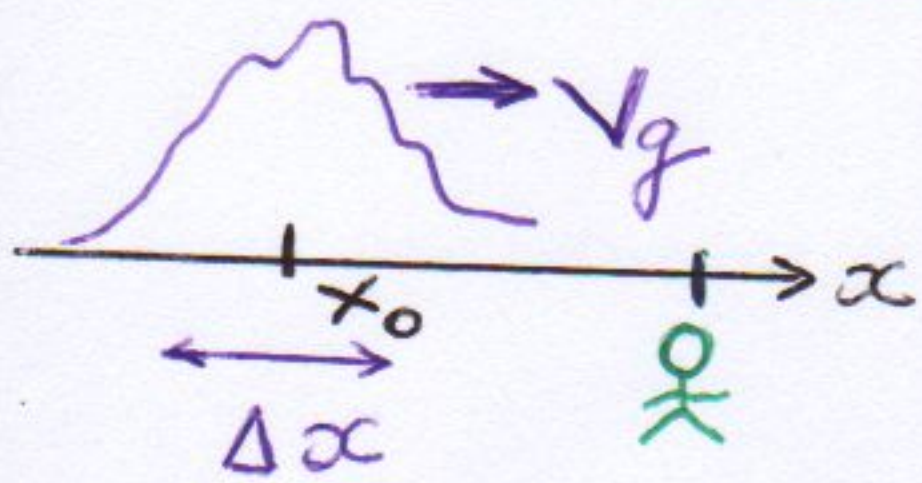
$\Rightarrow \Delta p \sim \frac{\hbar}{2a}$

$$\rightarrow E = \frac{1}{2m} \left( \frac{\hbar}{2a} \right)^2 + \frac{1}{2} m \omega^2 a^2$$

Energia mínima:  $dE/da = 0 \Rightarrow a_m^2 = \frac{\hbar}{2m\omega}$

$$E(a_m) = \frac{\hbar\omega}{2} \leftarrow \bar{n} \text{ é zero!}$$

## Incerteza tempo-energia



- o pacote caminha e/ou velocidade  $v_g$
- é composto de inúmeros  $k$  e  $\omega$ , logo, tem  $\Delta k$  e  $\Delta \omega$ .

Para que  $\Delta k$ , ou  $\Delta \omega$ , ou  $\Delta E$  sejam mensurados precisa que a parte central em torno de  $x_0$ , e de largura  $\Delta x$ , passe; isso leva  $\Delta t$  segundos:

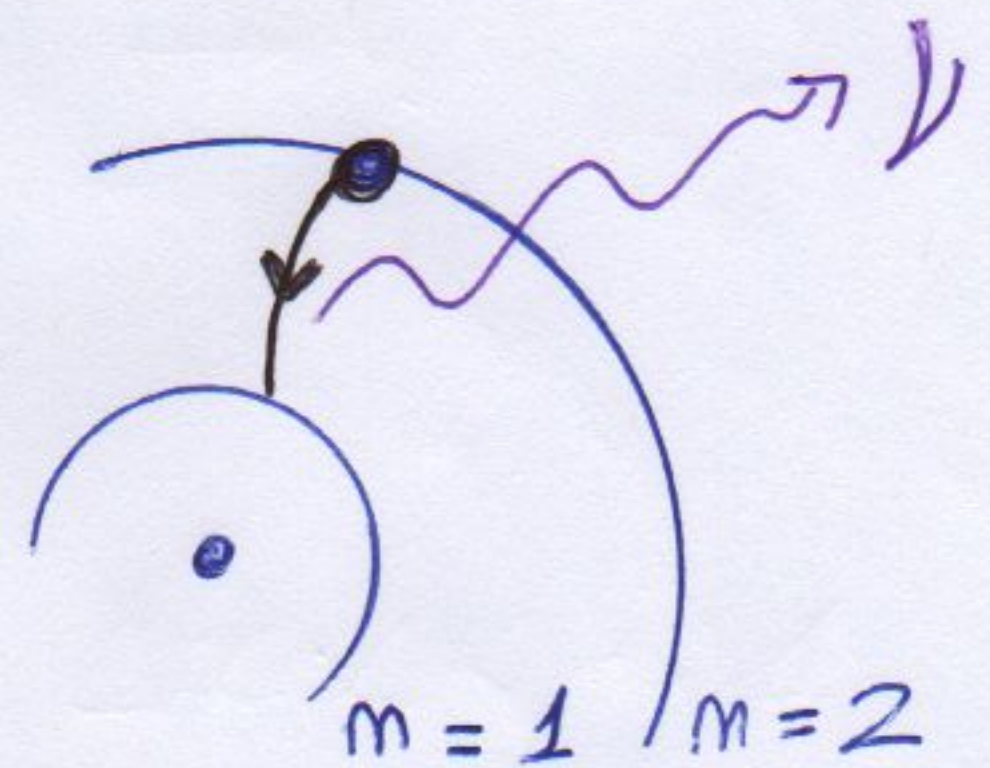
$$\Delta t = \frac{\Delta x}{v_g} = \frac{\Delta x}{\Delta \omega / \Delta k} = \frac{\Delta x \cdot \Delta k}{\Delta \omega} = \frac{\Delta x \Delta p}{\hbar \Delta \omega} = \frac{\Delta x \Delta p}{\Delta E}$$

$$\therefore, \Delta E \Delta t \sim \Delta x \Delta p \sim \hbar$$

$$\underline{\Delta E \cdot \Delta t \geq \hbar/2}$$

## Consequência

Seja a emissão de um fóton



$$\begin{aligned} \nu &= \frac{\Delta E_{2 \rightarrow 1}}{h} = \frac{1}{h} \frac{me^4}{2\hbar^2} \left( \frac{1}{1} - \frac{1}{2^2} \right) \\ &= \frac{1}{h} \frac{3}{4} \frac{me^4}{2\hbar^2} = \frac{3}{4} \frac{13,6}{4 \cdot 10^{-15}} \sim 10^{15} \text{ Hz} \end{aligned}$$

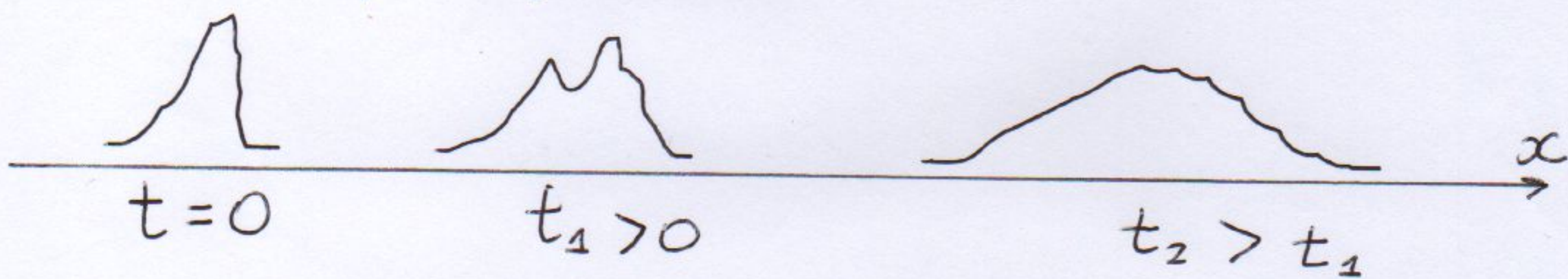
Tipicamente o  $e^-$  decai em  $\Delta t \sim 10^{-8} \text{ s}$

$$\Rightarrow \Delta \nu = \frac{\Delta E}{h} \sim \frac{\hbar / \Delta t}{h} = \frac{1}{2\pi \Delta t} \sim 10^7 \text{ Hz}$$

# Propagação de um pacote

$$\begin{array}{ccccccc}
 \text{---} & + & \text{---} & + & \text{---} & + & \dots = \text{---} \rightarrow v_g \\
 k_1 & & k_2 & & k_3 & & \\
 \rightarrow & & \rightarrow & & \rightarrow & & \\
 v_1 & & v_2 & & v_3 & & 
 \end{array}$$

Se cada componente do pacote viajar com diferente velocidade, o pacote se deforma com o tempo!



$$\lambda \nu = v_f \Rightarrow \frac{2\pi}{k} \nu = v_f \Rightarrow \omega = k v_f$$

$$v_g = \frac{d\omega}{dk} = v_f + k \frac{dv_f}{dk}$$

- qdo  $dv_f/dk = 0 \rightarrow$  meio  $\bar{n}$  dispersivo
  - vácuo p/ a luz
  - ar p/ e som

- qdo  $dv_f/dk \neq 0 \rightarrow$  meio dispersivo
  - vidro p/ a luz

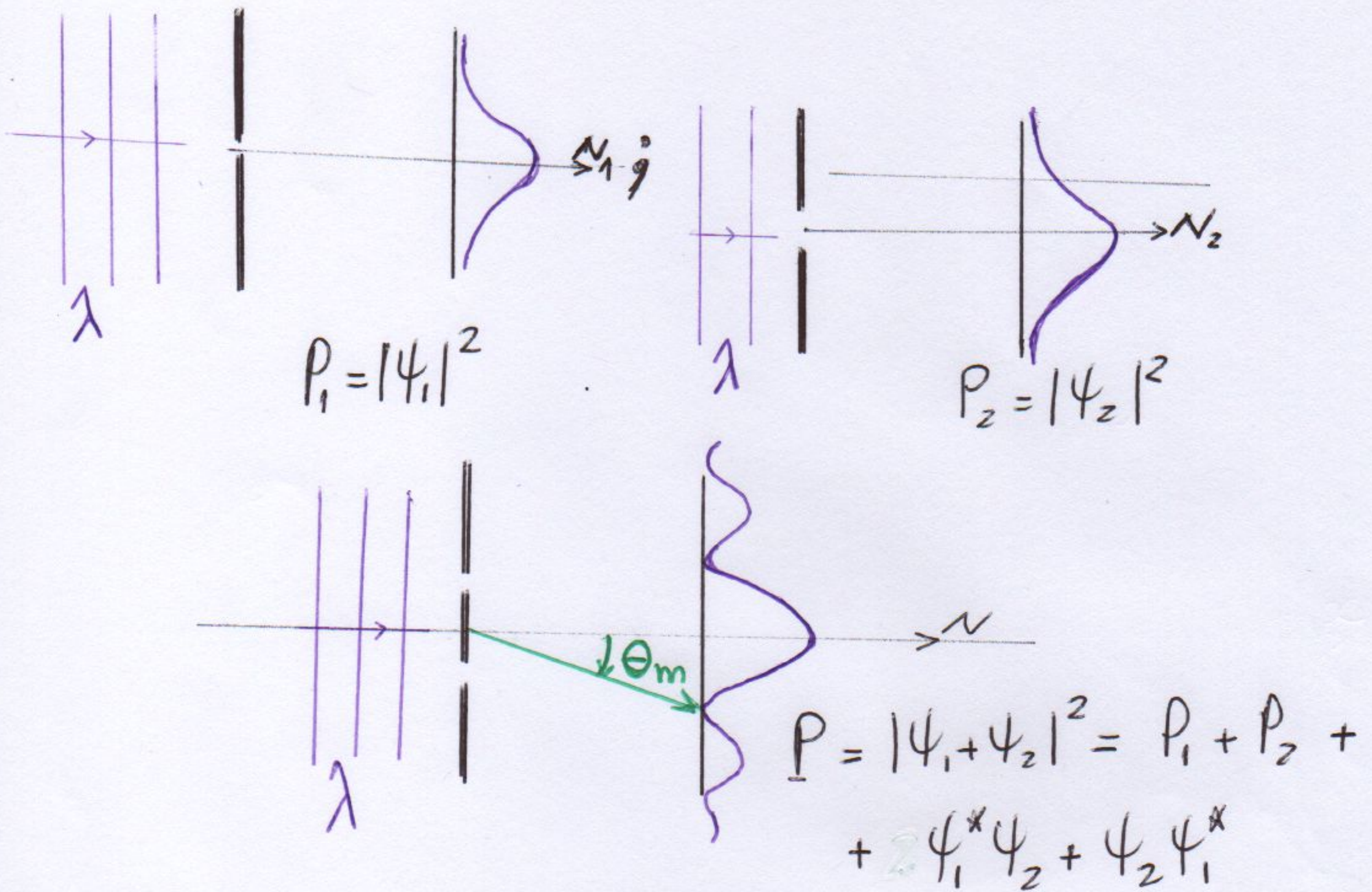
Em Quântica:

partícula livre:  $\hbar\omega = \frac{\hbar^2 k^2}{2m}$

de  $\lambda \nu = v_f \Rightarrow \frac{2\pi}{k} \nu = v_f \Rightarrow v_f = \frac{\omega}{k} \Rightarrow \frac{dv_f}{dk} = \frac{\hbar}{2m} \neq 0$

arco íris

# 1º experimento da dupla fenda e o princípio da incerteza

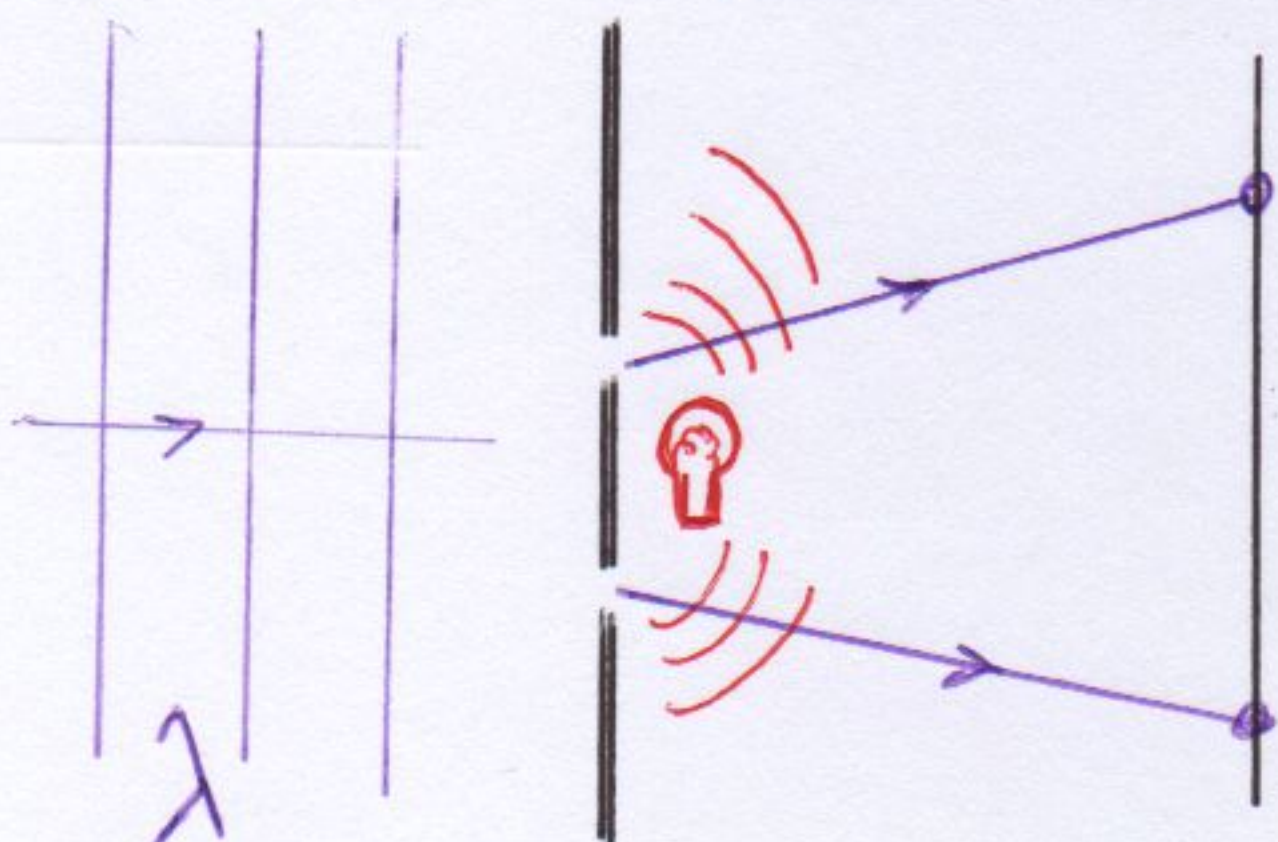


1º mínimo ocorre em  $2d \sin \theta_m = \lambda$

Para simplificar a discussão, seja  $\lambda \ll d \Rightarrow \theta_m = \frac{\lambda}{2d}$

Vamos tentar saber por qual fenda o  $e^-$  passou.

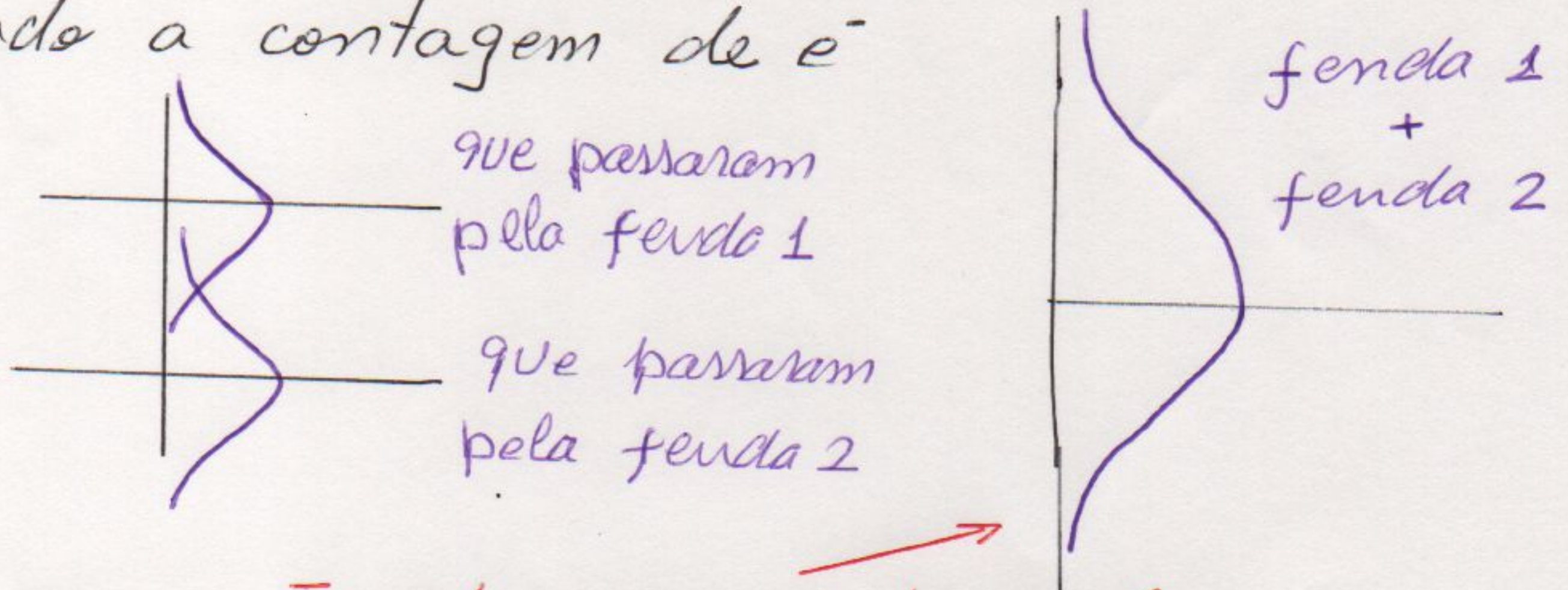
(invasão de privacidade elementar!)



ao passar por uma das fendas aparecerá um flash e então saberei a trajetória do  $e^-$  até o anteparo

Sempre que um elétron é detectado aparece um único flash, da fenda 1 ou da 2.

Fazendo a contagem de  $e^-$



n aparece interferência

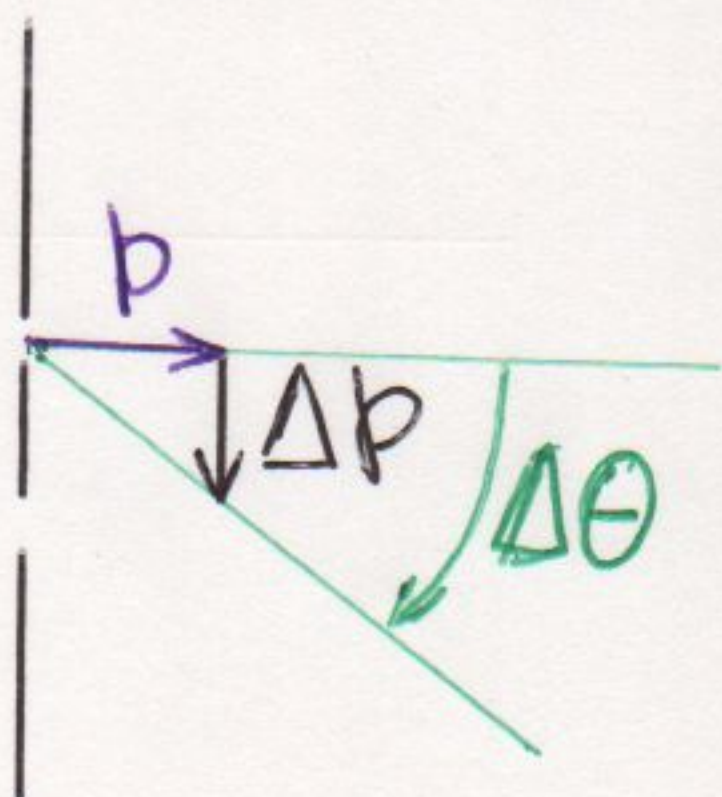
Note que aqui as 2 fendas estão abertas!

O ato de observar por qual fenda (ou qual trajetória) o  $e^-$  passou destrói o padrão de interferência.

A observação perturba incontavelmente!

(ou se ele tinha intenção de ir para um máximo, a observação o "chuta" para um mínimo)

A observação que o  $e^-$  passou por uma das fendas significa que sabemos sua localização com uma incerteza  $\Delta x \sim d/2 \Rightarrow \Delta p > 2h/d$



$$\Delta \theta \sim \frac{\Delta p}{p} = \frac{2h/d}{h/\lambda} = \frac{\lambda}{\pi d} \sim \theta_m$$

→ o mínimo é invadido por elétrons  
→ n há interferência